

ROBÓTICA E AUTOMAÇÃO

Raphael Barros Parreira

1 Controle Cinemático de Manipuladores

O exercício tem como objetivo o **controle cinemático** da posição do punho do manipulador, sem se preocupar com a orientação, nesse primeiro momento. Para isso, o manipulador escolhido foi um 7R, com a tabela de Denavit-Hartenberg (tabela 1) e a posição inicial (q_0 representada na figura 1) dadas.

Além disso, o enunciado define 3 trajetórias distintas, define os controles a serem implementados e insere restrições.

Como o objetivo é apenas controlar a posição do manipulador, pode-se ignorar as 3 últimas juntas, já que, pela tabela de DH, elas apenas influenciam na orientação do manipulador. Essa decisão implicará numa série de simplificações feitas no sistema, começando por sempre definir a posição e a velocidade dessas 3 juntas como *zero*.

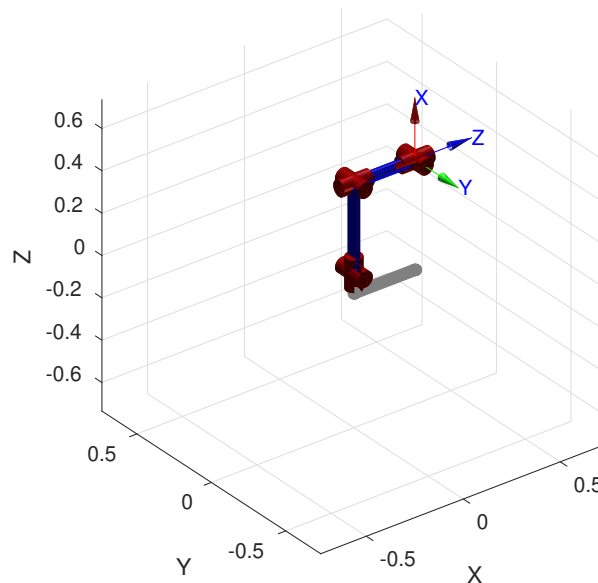


Figure 1: Manipulador Antropomórfico na posição inicial

$$\theta_5 = \theta_6 = \theta_7 = 0$$

$$\dot{\theta}_5 = \dot{\theta}_6 = \dot{\theta}_7 = 0$$

$$q_0 = [0, 0, 0, \pi/2]$$

$$\dot{\theta}_{max} = 3rad/s \Rightarrow \|u_i\| \leq 3 (i = 1, 2, 3)$$

Table 1: Tabela de Denavit-Hartenberg do Manipulador Antropomórfico.

Junta	$\alpha(rad)$	$A(m)$	$\theta(rad)$	$D(m)$	$Offset(rad)$
1	$\pi/2$	0	θ_1	0	0
2	$\pi/2$	0	θ_2	0	π
3	$\pi/2$	0	θ_3	-0.4208	π
4	$\pi/2$	0	θ_4	0	π
5	$\pi/2$	0	θ_5	-0.3143	π
6	$\pi/2$	0	θ_6	0	π
7	π	0	θ_7	0	π

1.1 Controle

No controle cinemático assume-se que a velocidade do manipulador é a variável manipulada e que a **dinâmica** do manipulador pode ser **desprezada**. Além disso, considera-se que a velocidade das juntas responde instantaneamente ao sinal de entrada do motor da mesma, implicando na condição de $u \approx \dot{\theta}$

$$\begin{aligned} \begin{bmatrix} \vec{v} \\ \vec{\omega} \end{bmatrix} &= J(\theta)\dot{\theta} \quad \Rightarrow \quad \begin{bmatrix} \vec{v} \\ \vec{\omega} \end{bmatrix} = J(\theta)u \\ u &= \dot{\theta} \quad \Rightarrow \quad \dot{x} = J(\theta)u \\ x(t) &\longrightarrow x_d(t) \\ e &= x - x_d \end{aligned}$$

O objetivo de controle é que o manipulador siga uma trajetória pré-determinada. Portanto, já que se conhece a trajetória, por conseguinte, também se conhece a sua derivada. O que permite adicionar informações no sistema de controle (ação *feed-forward*, tornando possível a **liminação do erro em estado estacionário** ao seguir uma trajetória.

Para que os cálculos sejam feitos, é necessário escolher uma base para expressar os vetores e calcular o Jacobiano. Já que a trajetória dada está expressa na base do sistema inercial, uma boa escolha é usar essa mesma base.

Uma boa ideia para a lei de controle é eliminar as não-linearidades do sistema, incluindo-se a inversa do Jacobiano no sinal de controle.

$$\begin{aligned}
\dot{x} &= J\bar{u} \\
\bar{u} &= J^{-1}[\dot{x}_d + K(x_d - x)] \\
\dot{x} &= JJ^{-1}[\dot{x}_d + K(x_d - x)] \\
\dot{x} - \dot{x}_d &= K(x_d - x) \\
\dot{e}(t) &= Ke(t) \\
e &\longrightarrow 0, \quad t \longrightarrow \infty
\end{aligned}$$

Como no caso de um manipulador com 7 juntas, o Jacobiano não é uma matriz quadrada, ele não possui inversa. Sendo assim, se faz necessário o uso da **pseudo-inversa** (J^\dagger).

$$\begin{aligned}
J^\dagger &= J^T(JJ^T)^{-1} \Rightarrow JJ^\dagger = I \\
\bar{u} &= J^\dagger[\dot{x}_d + K(x_d - x)]
\end{aligned}$$

1.2 Trajetórias

O enunciado considera 3 trajetórias de referência distintas, com $w_n = 2\pi/10$. Além disso, não se pode usar derivadores puros. Logo, as derivadas das trajetórias foram calculadas como se segue:

a Trajetória a

$$\begin{aligned}
x_d &= \begin{bmatrix} 0.075(\sin(w_nt) + \sin(4w_nt)) + 0.456 \\ 0 \\ 0.075(\cos(w_nt) + \cos(4w_nt)) + 0.069 \end{bmatrix} \\
\dot{x}_d &= \begin{bmatrix} 0.075w_n(\cos(w_nt) + 4\cos(4w_nt)) \\ 0 \\ -0.075w_n(\sin(w_nt) + 4\sin(4w_nt)) \end{bmatrix}
\end{aligned}$$

b Trajetória b

$$\begin{aligned}
x_d &= \begin{bmatrix} 0.075\sin(w_nt) + 0.456 \\ 0 \\ 0.075\cos(w_nt) + 0.2 \end{bmatrix} \\
\dot{x}_d &= \begin{bmatrix} 0.075w_n\cos(w_nt) \\ 0 \\ -0.075w_n\sin(w_nt) \end{bmatrix}
\end{aligned}$$

c Trejetória c

$$x_d = \begin{bmatrix} 0.075\sin(w_nt) + 0.456 \\ 0.075(\sin(w_nt) + \cos(w_nt)) \\ 0.075\cos(w_nt) + 0.2 \end{bmatrix}$$

$$\dot{x}_d = \begin{bmatrix} 0.075w_n\cos(w_nt) \\ 0.075w_n(\sin(w_nt) - \cos(w_nt)) \\ -0.075w_n\sin(w_nt) \end{bmatrix}$$

1.3 Simulação

O sistema representado na topologia da figura 2 está simulando a lei de controle com o feed-forward. Porém, para efeitos de comparação, o exercício pede para desligar essa ação. Para isso, basta apenas excluir o sinal de \ddot{x} que é somado depois do ganho.

Cada uma das trajetórias foi simulada com e sem ação do feed-forward.

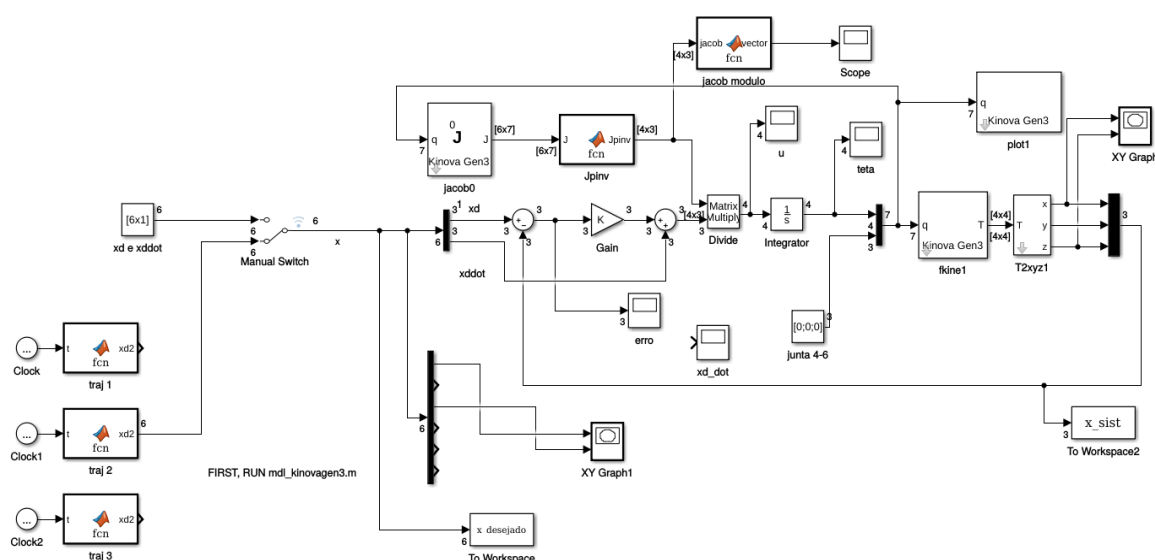


Figure 2: Topologia do Simulink.

1.4 Ganhos

Um ponto importante do trabalho é o ganho K do controlador. Isso se dá porque foi pedido o maior ganho possível atendendo à especificação de $\|u_i\| \leq 3 (i = 1, 2, 3)$.

Sendo assim, se faz necessário calcular a ordem de grandeza do ganho e depois se fazer o ajuste fino para cada um dos casos.

$$\begin{aligned}
\|\bar{u}\| \leq 3 &\Rightarrow \left\| J^\dagger [\dot{x}_d + K(x_d - x)] \right\| \leq 3 \\
\left\| J^\dagger \right\|_{max} [\|\dot{x}_d\|_{max} + K_{base} \|e\|_{max}] &= 3 \\
K_{base} &= \frac{3}{\left\| J^\dagger \right\|_{max}} - \|\dot{x}_d\|_{max} \\
\left\| J^\dagger \right\|_{max} &= 4.277 \quad \|\dot{x}_d\|_{max} = 0.2356 \quad \|e\|_{max} = 0.1417 \\
K_{base} &\approx 3.3
\end{aligned}$$

Os valores $\left\| J^\dagger \right\|_{max}$, $\|\dot{x}_d\|_{max}$ e $\|e\|_{max}$ foram calculados graficamente na simulação, considerando o valor no instante inicial ($\theta(0)$), onde se mostrou ser o maior valor em todos os casos.

Após esse passo, foi feita a sintonia fina, chegando o mais próximo possível do valor máximo do sinal de controle em cada um dos casos. Os valores encontrados podem ser vistos na tabela 2.

Table 2: Ganhos para os controles com e sem Feed-forward em todas as 3 trajetórias.

Controles	FB	FF
Trajectoria 1	8.91	7.24
Trajectoria 2	8.91	8.57
Trajectoria 3	8.91	8.57

1.5 Resultados

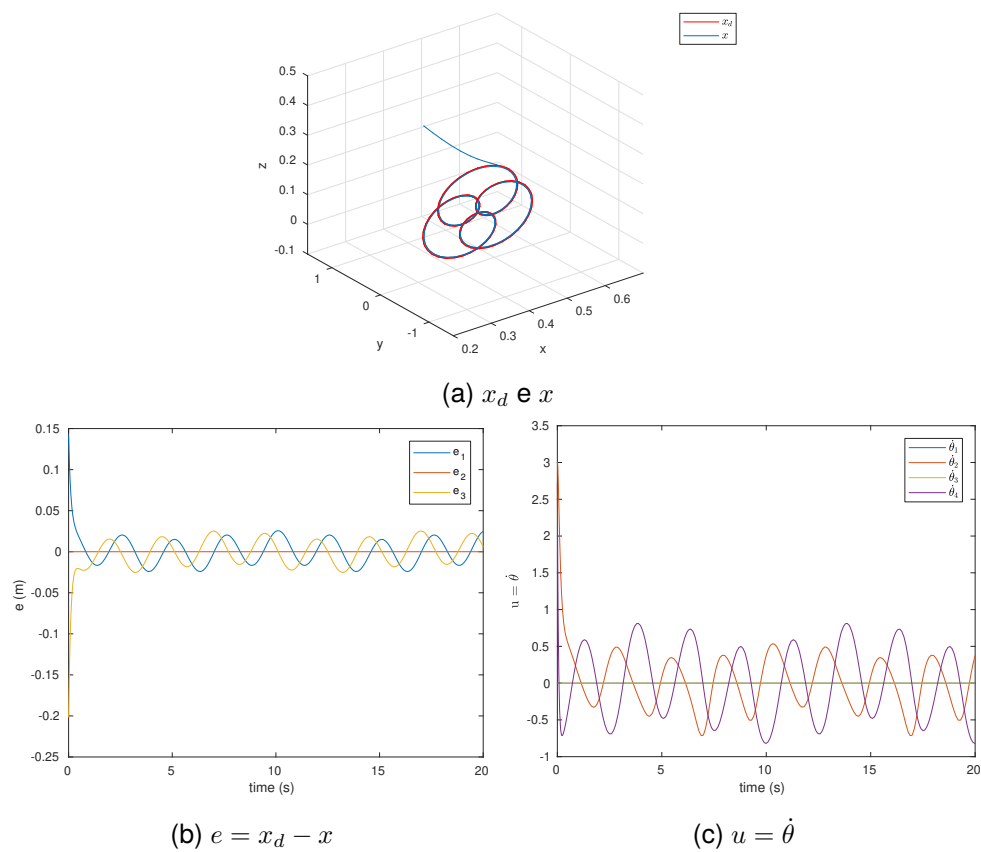
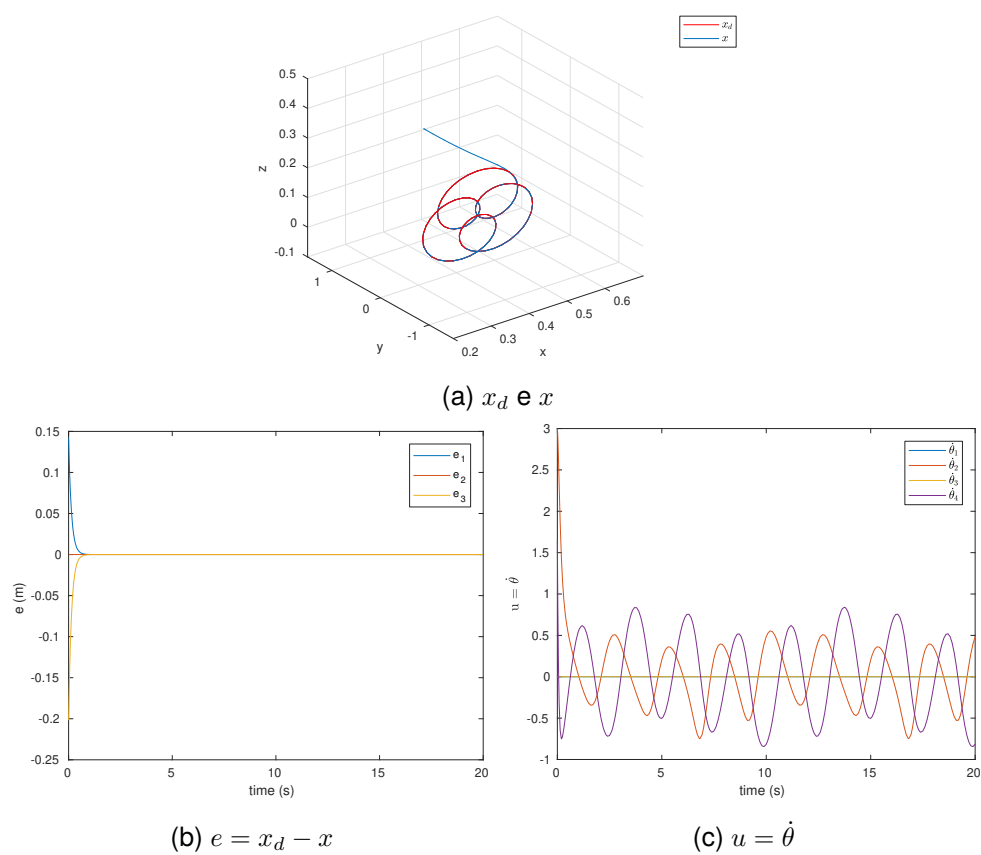
Cada uma das trajetórias tem dois conjuntos de figuras representando os dois controles pedidos (com e sem feed-forward).

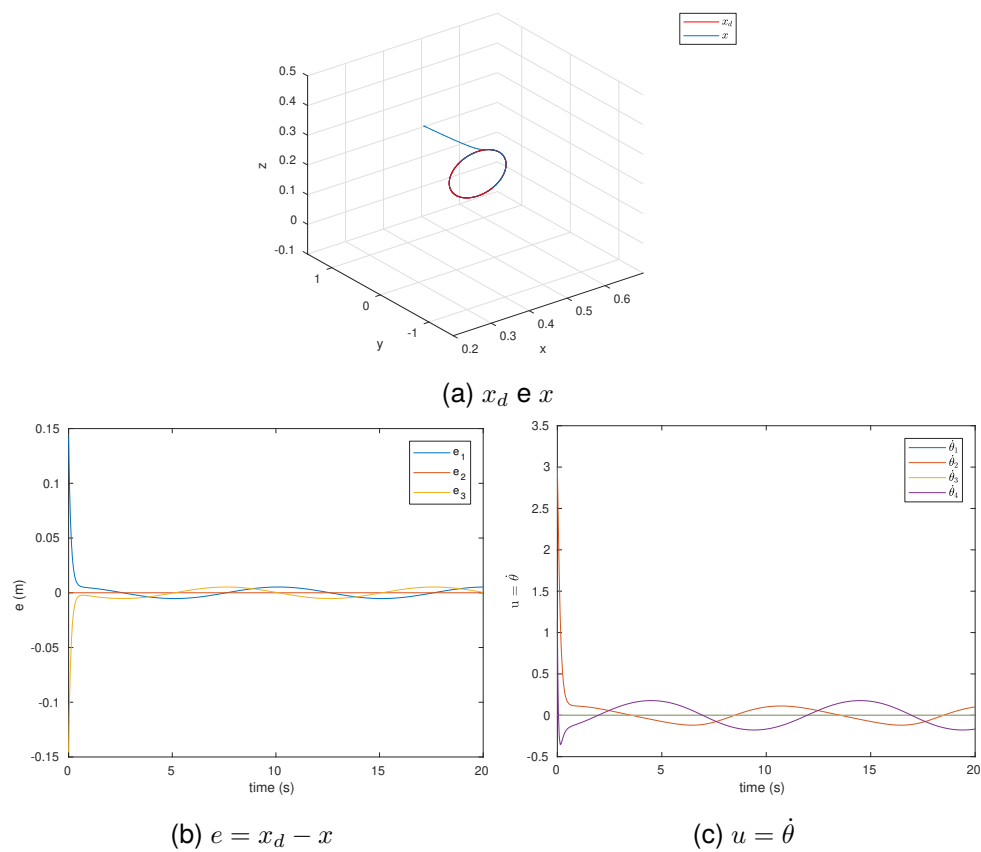
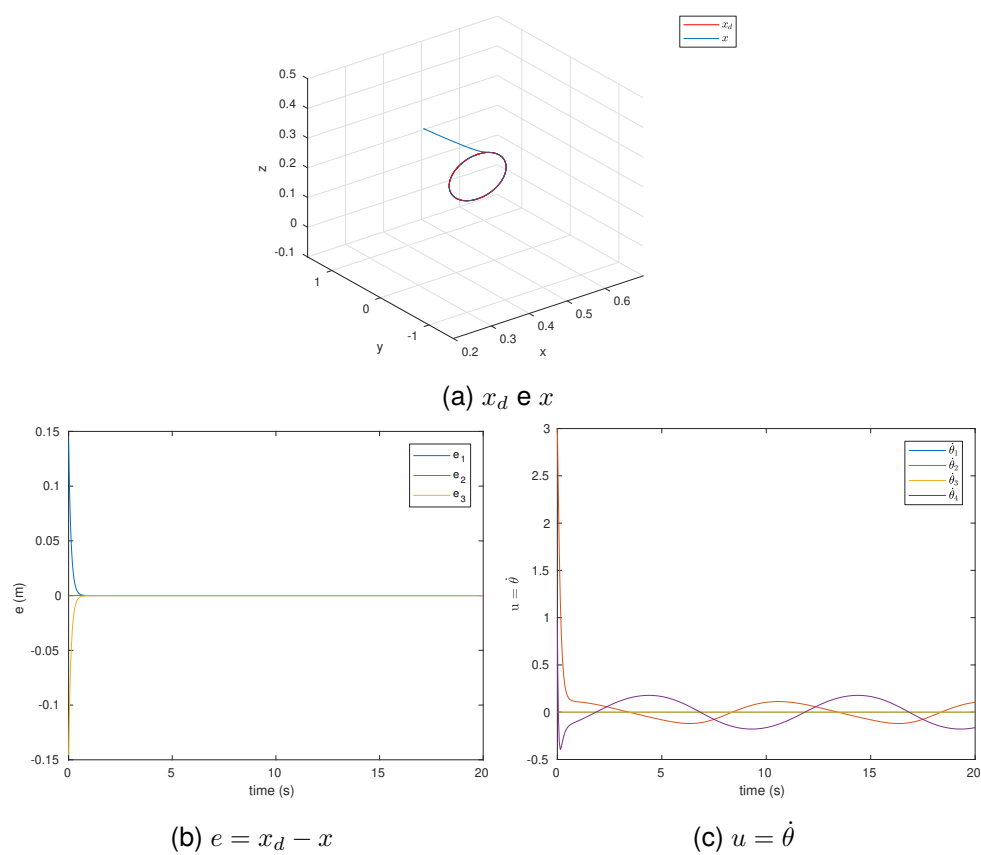
Desses conjuntos, a figura (a) exibe a trajetórias desejada (em vermelho) e a trajetória simulada (em azul). A figura (b), por sua vez, exibe o sinal do erro ($x_d - x$). Já a figura (c) representa o sinal de controle u para cada uma das 4 juntas controladas.

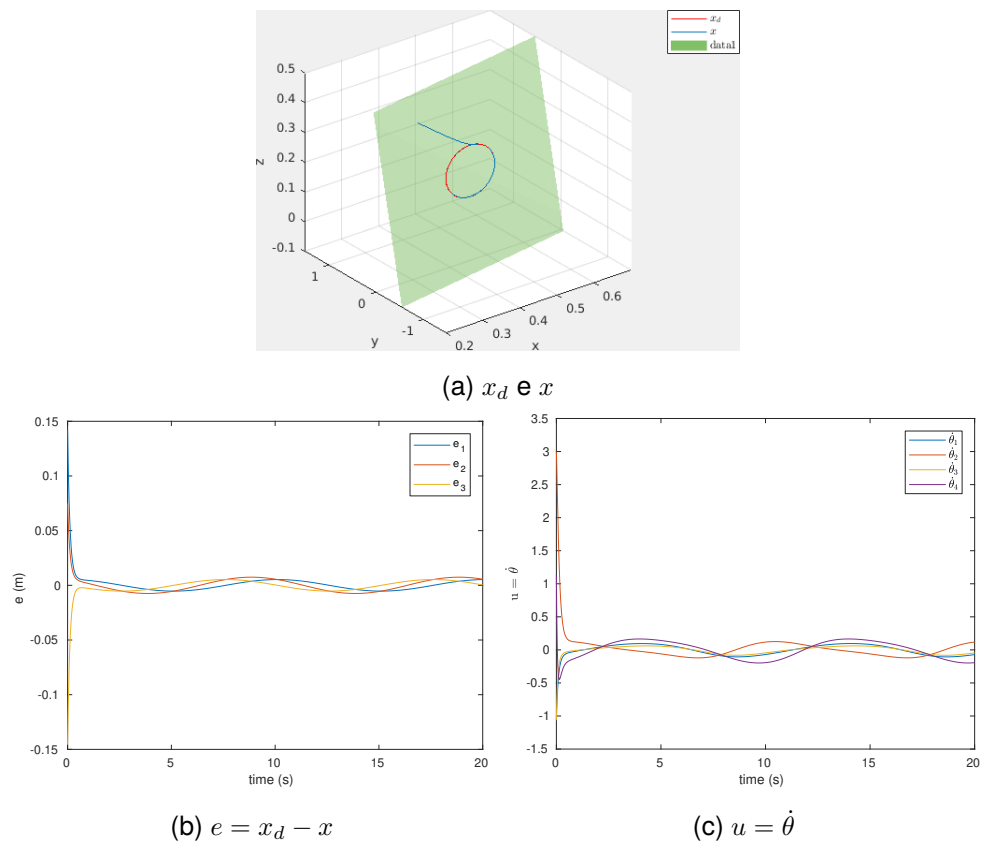
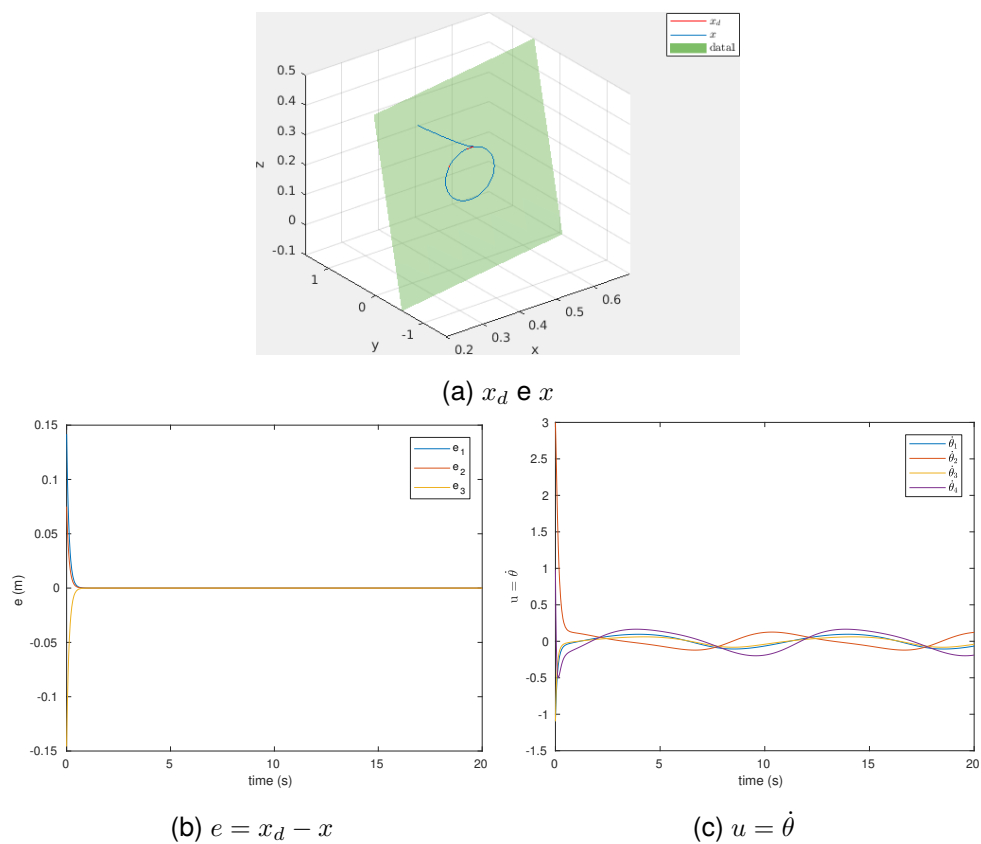
Como esperado, o controle sem feed-forward não é capaz de tirar o erro em regime de estado estacionário, mesmo sendo muito pequeno. Os sinais de controle atendem à restrição pedida, sempre se aproximando o máximo possível do valor máximo.

Pode-se observar na tabela 2 que os ganhos para o controle sem ação feed-forward são iguais para todas as trajetórias, sendo limitado apenas pela restrição do sinal de controle. Porém, mesmo aumentando o valor do ganho não seria possível eliminar o erro em EE.

No caso de não ser possível calcular a derivada da trajetória e, dependendo do caso de aplicação do manipulador, o controlador apenas com feed-back de posição pode ser suficiente, já que o erro em EE é pequeno comparado ao tamanho dos elos.

Figure 3: Ex 1: Trajetória a , controle sem FF.Figure 4: Ex 1: Trajetória a , controle com FF.

Figure 5: Ex 1: Trajetória b , controle sem FF.Figure 6: Ex 1: Trajetória b , controle com FF.

Figure 7: Ex 1: Trajetória c , controle sem FF.Figure 8: Ex 1: Trajetória c , controle com FF.

2 Controle Cinemático de Manipuladores Redundantes

Diferente do manipulador anterior, o objetivo agora é controlar um manipulador redundante. Onde o Jacobiano perde posto por ter mais juntas do que graus de liberdade para a tarefa.

Nesse caso aparece um comportamento muito interessante, o espaço nulo do Jacobiano, que permite otimizar um grau de liberdade adicional.

A função objetivo a ser otimizada pode ser de diversos tipos. Nesse trabalho, as escolhidas serão a **orientação**, a **manipulabilidade** e o **limite das juntas**.

O manipulador proposto para estudar esse comportamento é o manipulador planar 3R, com comprimento dos 3 elos de $0.5m$.

Assim como foi feito para o manipulador anterior, é necessário utilizar o método de Denavit-Hartenberg, cujos parâmetros estão na tabela 3.

A posição inicial escolhida foi $q_0 = [\pi, -\pi/2, -\pi/2]^T$, representada na figura 9.

Neste caso, a trajetória desejada é um círculo de raio $0.25m$ com centro no ponto $[0.250.5]$. Parametrizada por x_d .

$$x_d = \begin{bmatrix} 0.25(1 - \cos(\pi t)) \\ 0.25(2 + \sin(\pi t)) \end{bmatrix} \quad t \in [0, 4]$$

Table 3: Tabela de Denavit-Hartenberg do Manipulador Planar 3R.

Junta	$\alpha(rad)$	$A(m)$	$\theta(rad)$	$D(m)$	$Offset(rad)$
1	0	0.5	θ_1	0	0
2	0	0.5	θ_2	0	0
3	0	0.5	θ_3	0	0

2.1 Controle

Este caso é caracterizado por o numero de juntas n ser maior do que o número de graus de liberdade da tarefa m . O que traria a necessidade de usar novamente a pseudo-inversa.

Porém, diferente do caso anterior, esse tem outra particularidade. Como o manipulador é planar com todas as juntas de rotação no eixo z , duas linhas do Jacobiano serão nulas. Além disso, por todas as juntas estarem em todo o tempo no plano XY, a terceira linha do Jacobiano, referente a posição no eixo z , também será zero.

Com isso, pode-se trabalhar com um Jacobiano reduzido chamado de Jacobiano Analítico ($J_a \in R^{3 \times 3}$). Por J_a ser quadrado e não singular, ele é inversível.

Ao reduzir o Jacobiano, também se faz necessário reduzir o sinal de controle ($u \in R^6$), passando a ter dimensão 3.

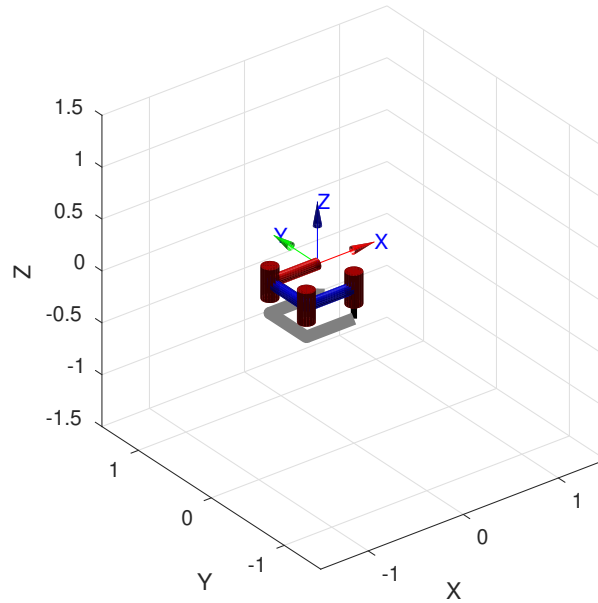


Figure 9: Manipulador Planar 3R na posição inicial

2.1.1 Orientação

No primeiro caso de controle, pede-se para que a orientação também siga uma trajetória desejada (ϕ_d).

$$\begin{aligned}
 u &= \dot{\theta} \quad J_a \in R^{3 \times 3} \\
 \dot{x} &= J_a(\theta) \dot{\theta} = J_a(\theta) u \Rightarrow u = J_a(\theta)^{-1} \dot{x} \\
 u &= J_a(\theta)^{-1} \bar{u} \\
 \bar{u} &= \dot{x}_d + K(x_d - x) \\
 x_d &= \begin{bmatrix} p_d \\ \phi_d \end{bmatrix} \\
 p_d &= \begin{bmatrix} 0.25(1 - \cos(\pi t)) \\ 0.25(2 + \sin(\pi t)) \\ 0 \end{bmatrix}, \quad \phi_d = \begin{bmatrix} 0 \\ 0 \\ \sin(\pi t/24) \end{bmatrix} \Rightarrow \dot{\phi}_d = \begin{bmatrix} 0 \\ 0 \\ \frac{\pi \cos(\pi t/24)}{24} \end{bmatrix} \quad t \in [0, 4] \\
 x_d &= \begin{bmatrix} x \\ y \\ z \\ \phi_1 \\ \phi_2 \\ \phi_3 \end{bmatrix}, \quad x_d = \begin{bmatrix} x \\ y \\ 0 \\ 0 \\ 0 \\ \phi_3 \end{bmatrix}
 \end{aligned}$$

Para se controlar o sistema com 3 graus de liberdade, adiciona-se uma nova parcela no sinal de controle, o espaço nulo do Jacobiano, que é alcançado usando-se a pseudo-inversa dele. A variável μ , o grau de liberdade adicional, é calculada multiplicando-se um ganho K_0 pela derivada da função $\omega(\theta)$ a ser otimizada.

Isso não altera a equação do erro.

$$\bar{u} = J^\dagger [\dot{x}_d + K(x_d - x)] + (I - J^\dagger J)\mu$$

$$\dot{e} + Ke = 0$$

$$\mu = K_0 \left(\frac{\partial \omega(\theta)}{\partial \theta} \right)^T$$

$$\omega(\theta) = \begin{bmatrix} 0 \\ 0 \\ \sin(\pi t/24) \end{bmatrix}$$

$$\phi_d = \theta_1 + \theta_2 + \theta_3 = \sin(\pi t/24)$$

$$\omega(\theta) = \begin{bmatrix} 0 \\ 0 \\ \sin(\pi t/24) \end{bmatrix} \Rightarrow \dot{\omega}(\theta) = \begin{bmatrix} 0 \\ 0 \\ \frac{\pi \cos(\pi t/24)}{24} \end{bmatrix}$$

2.2 Funções Objetivo

2.2.1 Orientação

Como observado anteriormente, uma das funções a ser otimizada é a orientação, que deve seguir uma trajetória parametrizada por ϕ_d .

$$\phi_d = \theta_1 + \theta_2 + \theta_3 = \sin(\pi t/24)$$

$$\omega(\theta) = \begin{bmatrix} 0 \\ 0 \\ \sin(\pi t/24) \end{bmatrix} \Rightarrow \dot{\omega}(\theta) = \begin{bmatrix} 0 \\ 0 \\ \frac{\pi \cos(\pi t/24)}{24} \end{bmatrix}$$